



ИССЛЕДОВАНИЕ СИЛОВЫХ ЗАВИСИМОСТЕЙ ПРИ АЛМАЗНОЙ ГЛАЖКЕ

Зайниев Худойберди Мухиддинович

Стажёр-преподаватель

Бухарский инженерно-технологический институт

Аннотация: В статье рассмотрены силовые зависимости при алмазной утюжке в начале движения с различными оправками, в отличие от оправки с жесткой конструкцией: пневмооправкой и пневмооправкой на пружинах.

Ключевые слова: алмазное утюжение, пневматическая оправка на пружинах, жесткая оправка, калибрование, пневматическая оправка, трение.

В процессе алмазного глажения деталей с круглым профилем усилие глажения может изменяться и менять направление при использовании различных конструкций оправок. При изменении направления силы изменяется трение о поверхность, что влияет на износ инструмента. Алмазное утюжение может производиться как с начала движения детали, так и во время ее движения [1, 2].В процессе обработки осевых деталей избежать перемещений индентора невозможно. Радиальное взмахивание может повлиять на это. Алмазный наконечник может вибрировать вперед и назад за один оборот. При этом происходит заедание инструмента. Это происходит так быстро, что визуально не заметно, трудно исправить и может сильно повлиять на параметры поверхности детали с инструментами. То же самое происходит, когда начинается перемещение.Происходит составляющей скачок силы сглаживания, направленной против направления движения индентора, то есть силы трения [3]. Этот случай можно исправить экспериментально. Теоретически усилие должно увеличиваться, но теория написана для случаев с жесткой оправкой. Необходимо воспроизвести процесс с оправками другой жесткой конструкции.

В качестве оборудования для эксперимента используем токарновинторезный станок 1К62. Для всех экспериментов использовали индентор с







синтетическим алмазом радиусом R1,5 мм. Для сравнительных опытов использовали часть стержня из материала 12Х18Н10Т для внешней обработки. Деталь устанавливается в центры станка. Чтобы избежать радиального хлопания, наружная поверхность детали подвергается механической обработке. Для внутренней обработки используется деталь с отверстием из материала Д16Т. Вместо резцедержателя установлен трехкомпонентный динамометр 5233А1 фирмы «Кистлер» [4], непосредственно на него закреплены различные оправки с алмазным наконечником. Ось гладильного устройства должна точно совпадать с осью центров машины. Индустриальное масло И-20 используется для глажения со смазочно-охлаждающей жидкостью. В процессе алмазного глажения на токарном станке различают два движения: движение вращения детали и движение подачи. Все изменения сил будут фиксироваться на компьютере. Для заметного отображения всегда есть временная пауза между действиями. При различных конструкций оправок использовались следующие наружные гладильные оправки: а) жесткая оправка; б) динамометрическая оправка (силовой элемент - плоская пружина с демпфером) в) пневматическая оправка (силовой элемент - сильфон со сжатым воздухом) с ресивером; г) пневматическая оправка (силовой элемент - сильфон со сжатым воздухом) на плоских пружинах с ресивером; а для внутреннего глажения: е) торсионная оправка; е) пневматическая оправка (силовой элемент сильфон со сжатым воздухом) на плоских пружинах с ресивером [5]. В статье представлены две оправки для сравнения.

Пневматическая оправка с силовым элементом в виде пневматической пружины или сильфона относится к упругому креплению инструмента и позволяет обрабатывать наружные цилиндрические поверхности детали с радиальными хлопками или отклонениями формы. Сильфон представляет собой эластичную гофрированную камеру, которая при глажке испытывает сжимающие напряжения. Для стабилизации усилия в систему «индентор – сильфон» добавлен ресивер, позволяющий значительно уменьшение колебаний





давления в сильфонах за счет увеличения объема сжатого воздуха. Объем ресивера более чем в 10 раз превышает объем рабочей камеры сильфона. Глажка производится при определенном значении усилия прижима [5, 6], которое устанавливается с помощью давления воздуха в системе и контролируется манометром. Конструктивные особенности пневматической оправки должны обеспечивать постоянное усилие глажения Ру даже при большой поверхности взмаха, так как изменение объема сильфона мало по отношению к объему ресивера, следовательно, изменение давления в сильфоне и сила глажения также мала.

Для определения необходимой силы прессования необходимо подобрать требуемое давление в ресивере [6, 7]. Винт, продавливаемый через шар, ограничивает ход сильфона. Воздушная система определяется на наличие утечек воздуха.

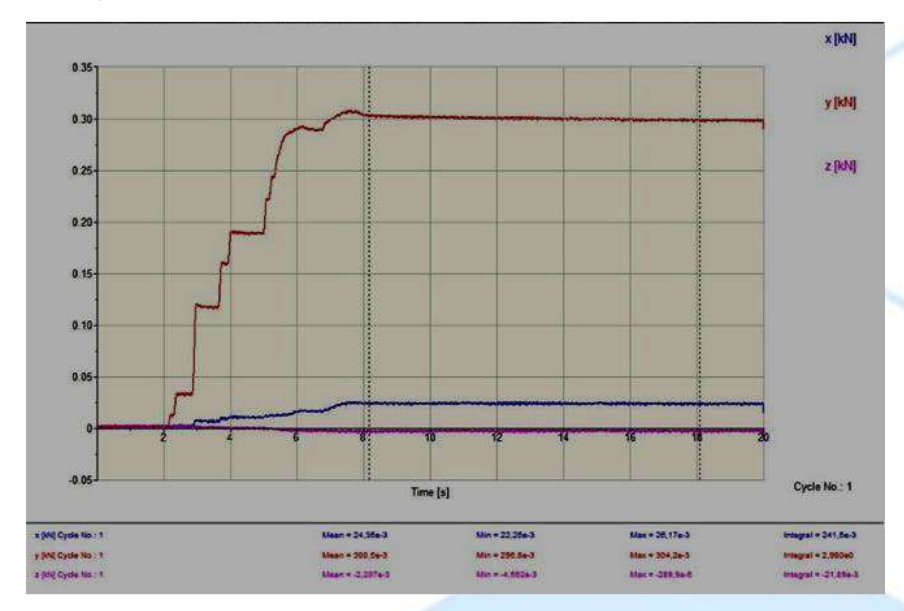


Рис. 2. График проверки силы

Радиальная сила Ру немного уменьшается со временем из-за сдувания пневматической системы. Произошло изменение осевой силы Рх, возможно, изза вылета инструмента относительно динамометра на рис. 2.

Силовые зависимости усилия глажения в начале однонаправленного движения осуществляются так же, как и с жесткой оправкой.



Измерения проводились по следующим критериям: в направлении движения резания; по степени нагружения усилиями 100H, 200H и 300H; и по использованию смазочных материалов.



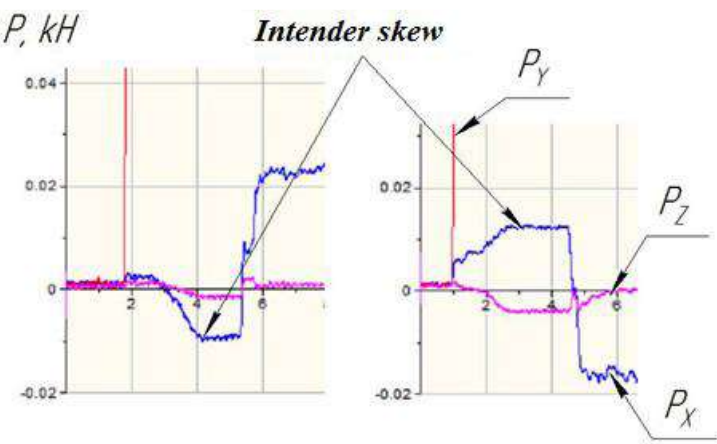
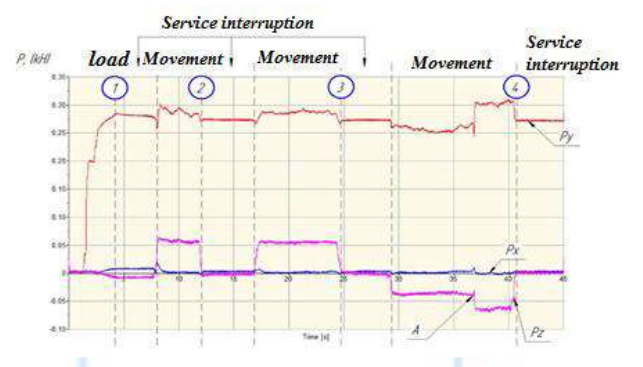


Рис. 1. Установленная пневматическая оправка

Рис. 3. Изменение осевой силы

На рис. З показаны два ярко выраженных графика при равных условиях с усилием 100 Н и применением смазки, только движение в разные стороны. Осевая сила Рх под нагрузкой принимает различные значения. Это наблюдение присутствует на всех графиках. Это явление можно объяснить конструкцией оправки. Алмаз закрепляется во втулке, которая перемещается по отверстию с зазором и становится с разным перекосом. Колебания радиальной силы Ру также могут возникать из-за заедания в связи с гильзой, но могут быть и задиры на поверхности детали, связанные с изгибом инструмента.В результате изучения образования трещин на пневматической оправке установлено, что при силовом нагружении индентор часто становится перекошенным. Ошибка связана с конструкцией оправки. Визуального изгиба не наблюдалось, так как это могло произойти внутри корпуса.





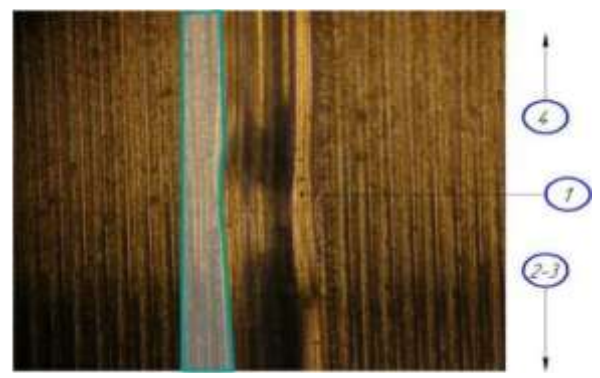


Рис. 4. Схема реверсивного движения пневмодорна при вращении

Рис. 5. Прохождение точки инъекции

На рис. 4 хорошо видно прохождение участка А инжекции. Происходит изменение направления силы глажки. Также визуально можно наблюдать прохождение точки впрыска 1 на рисунке 5. По идее, на этой оправке должно быть постоянное усилие прижатия, но конструктивно за счет силы трения происходит изменение радиальной силы.

Оправка для алмазного глажения с силовым элементом в пневматической пружины и гибкой пружинной опоры предназначена для обработки наружных цилиндрических и фасонных поверхностей деталей, а также поверхностей деталей, установленных с эксцентриситетом. В конструкцию оправки входит закрепленный во втулке алмазный индентор, который в свою очередь жестко закреплен на пружинной опоре. Пружинная опора состоит из четырех плоских пружин, усиленных пластинами для исключения прогиба пружины и контакта подвижной части оправки с ее корпусом. Эта опора позволяет двигаться с небольшой амплитудой вокруг начальной точки: ± 3 мм. обеспечивается глажения полым металлическим гофром, т.е. пневматическим мехом. Постоянное давление воздуха в сильфоне обеспечивает постоянную силу прижатия рабочего органа оправки к поверхности детали. Постоянное давление достигается многократным превышением объема воздуха в ресивере по сравнению с объемом воздуха в сильфоне, что позволяет избежать значительных изменений давления воздуха в сильфоне за счет сжатия сильфона





и уменьшения объема воздуха. Это должно уменьшить величину колебаний силы силового элемента по сравнению с величиной создаваемой им силы. Для контроля давления в системе на ресивере установлен манометр.

Для того чтобы определить необходимое усилие прессования, необходимо подобрать требуемое давление в ресивере. График замеров на эту оправку уже имеется, поэтому проводится только поверка. Воздушная система определяется на наличие утечек воздуха.



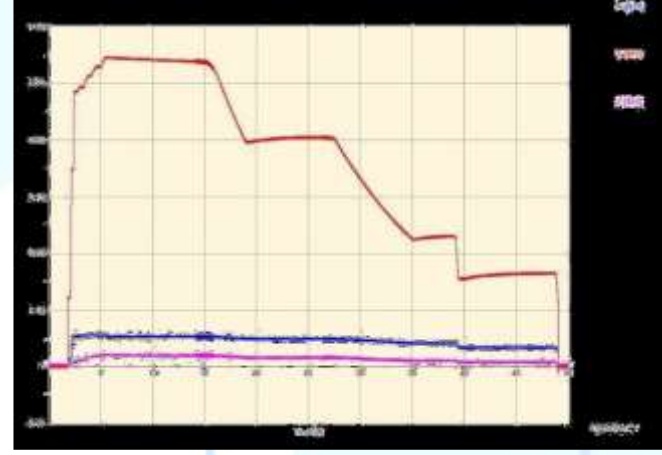


Рис. 6. Оправка пневматической пружины, установленная на Рис. 7. График проверки силы станке с ресивером.

На графике (рис. 7) выполнена проверочная замерка с помощью динамометра. Давление выбиралось в зависимости от необходимого усилия. Сначала в систему был закачан воздух. Затем запускали процесс измерения и постепенно через определенные промежутки времени выпускали воздух из ресивера. Отклонение осевой составляющей силы Рх составляет большой вылет инструмента. По касательной составляющей Рх можно сказать, что ось индентора ниже оси центров станка. Измерение силовых зависимостей силы глажки в начале однонаправленного движения проводят так же, как и с жесткой оправкой. Измерения производятся по следующим критериям: по направлению движения; при степени нагружения усилиями 100H, 200H и 300H; и по использованию смазочных материалов. Все данные и графики представлены в Приложении А и Таблицах 19-22. Графики приведены при пятикратной глажке. Коэффициенты





трения указаны в таблице 2.5, где сила нагрузки указана приблизительно для градации, точная сила показана на графиках в приложении.

Пневматическая пружинная оправка позволяет гладить с постоянным направлением вектора силы. Из графиков видно, что радиальная составляющая силы Ру остается неизменной при движении. То же самое происходит с силой трения при движении вращения тангенциальной Рz и при продольном движении опоры осевой силы Рх. На графике показана трещина, начинающаяся в начале движения. Изменение коэффициента трения от усилия глажки более равномерное, но отличается от направления движения.

Использованная литература.

- 1. Технологические процессы алмазного глажения: учебник для вузов./В.В. Клепиков, А.Н. Бодров. М.:Высшая школа, 2006, с. 320
- 2. Евсин Э.А. Исследование возможности оптимизации инструмента для алмазной утюжки / Е.А. Евсин // Совершенствование процесса абразивно-алмазной и упрочняющей технологии в машиностроении: сб. Пермь: Пермский государственный политехнический институт, 1983, с. 63-70.
- 3. Григорьев С.Н., Кохомский М.В., Маслов А.Р. Оснастка для токарных станков с ЧПУ: Справочник / Под общей редакцией А.М. Маслов. М.: Машиностроение, 2006. с. 554: больной.
- 4. Vladimirovna D. L., Muhiddinovich Z. X. error in processing parts made of hard to process alloys and its analysis //Galaxy International Interdisciplinary Research Journal. -2021. T. 9. No. 11. C. 322-326.
- 5. Khusniddinovna A. D., Muhiddinovich Z. X. investigation of automation of the control unit of the turret head of the lathe //Galaxy International Interdisciplinary Research Journal. -2021. T. 9. N. 11. C. 346-350.
- 6. Nosimovich I. R., Muhiddinovich Z. X. modernization of the installation model in order to be able to measure the deviation of the hole surface //Galaxy International Interdisciplinary Research Journal. $-2021. T. 9. N_{\odot}. 11. C. 337-341.$





- 7. Nosimovich I. R., Muhiddinovich Z. X. the possiblity of installing the satellite device on the machine table //Galaxy International Interdisciplinary Research Journal. -2021.-T.9.-N 11. -C.327-331.
- 8. Зайниев X. М., Раззакова М. С. Изучение подборки микроконтроллеров станков с чпу //PEDAGOGS jurnali. 2023. Т. 31. №. 1. С. 123-127.
- 9. Kholova N. A. Production of Reinforced Concrete Products by Application of Energy Saving Methods is the way of Increasing the Economic Efficiency of National Economy //European journal of innovation in nonformal education. − 2022. − T. 2. − № 3. − C. 297-298.
- 10. Холова Н. А. Методы ухода, применяемые с использованием солнечного света на открытых площадках для улучшения качества свежеуложенного бетона //Gospodarka i Innowacje. 2022. Т. 24. С. 165-168.
- 11. Fayzullaevna S. N., Akhmedovna K. N. Significant Technological Methods of Production of Composite Materials //European journal of innovation in nonformal education. -2023. T. 3. No. 2. C. 36-40.
- 12. Akhmedovna K. N. Production of Composite Materials by Important Technological Methods //European journal of innovation in nonformal education. 2023. T. 3. No. 4. C. 102-105.
- 13. Беков У. С., Рахимов Ф. Ф. Спектральный анализ кремнийорганических соединений на основе фенола //Universum: химия и биология. -2021. -№. 5-2 (83). C. 27-30.
- 14. Беков У. С. Квантово-химические расчёты зарядов олигоэтилентриэтоксисилана-как основа устойчивости промежуточного и переходного состояний //Universum: химия и биология. 2020. №. 11-1 (77). С. 78-80. URL: https://7universum.com/ru/nature/archive/item/10846
- 15. Рахимов Ф. Ф., Беков У. С. Квантово-химические расчёты зарядов кремниорганических соединений-как основа устойчивости промежуточного и переходного состояний //Universum: химия и биология. 2022. №. 5-2 (95). С. 47-50. URL: https://7universum.com/ru/nature/archive/item/13614







- 16. Беков У. С. О внедрении безотходных технологий в кожевенно-меховой промышленности //Universum: технические науки. 2020. №. 6-3 (75). С. 9-11.
- 17. Беков У., Қодиров Ж. Гидрофобные свойства пластицированного гипса полученоно с использованием органического полимера на основе фенолформальгида //Zamonaviy dunyoda tabiiy fanlar: Nazariy va amaliy izlanishlar. 2022. Т. 1. №. 25. С. 23-26. https://doi.org/10.5281/zenodo.7344600
- 18. Беков У. С. Флуоресцентные реакции ниобия и тантала с органическими реагентами //Universum: химия и биология. 2020. №. 5 (71). С. 47-49. URL: http://7universum.com/ru/ nature/archive/item/9350
- 19. Беков, У. С. Влияние способов переработки и внешних факторов на свойства дисперсно-наполненных полимеров / У. С. Беков // Современные материалы, техника и технология: Материалы 3-й Международной научно-практической конференции, Курск, 27 декабря 2013 года / Ответственный редактор Горохов А.А.. Курск: Закрытое акционерное общество "Университетская книга", 2013. С. 88-90. EDN SBFUXR.
- 20. Беков, У. С. Изучение технологических и физико механических свойств полимерных композиционных материалов, полученных на основе полиолефинов и отходов нефтегазовой промышленности / У. С. Беков // Инновации в строительстве глазами молодых специалистов : Сборник научных трудов Международной научно-технической конференции, Курск, 05–06 декабря 2014 года / Ответственный редактор: Гладышкин А.О.. Курск: Закрытое акционерное общество "Университетская книга", 2014. С. 62-65. EDN TGAMSJ.
- 21. Safarovich B. U. et al. Using sunlight to improve concrete quality //Science and pedagogy in the modern world: problems and solutions. $-2023. \tau$. $1. N_{\odot}$. 1.
- 22. Фатоев И. И., Беков У. С. Физико-химическая стойкость и механические свойства компоноров с реакционноспособными наполнителями в жидких







- агрессивных средах //Теоретические знания—в практические дела [Текст]: Сборник научных статей. – С. 111.
- 23. Safarovich B. U., Khaidarovich K. Z. Type of creep deformations of cellular concrete obtained by a non-autoclave method at low stresses //Horizon: Journal of Humanity and Artificial Intelligence. -2023. - T. 2. - №. 4. - C. 81-85.
- 24. Беков У. С., Хайдарович Қ. Ж. Физико-механическая характеристика уплотнителей, полученных в результате переработки вторичного бетона и железобетона //Pedagogs jurnali. – 2023. – Т. 31. – №. 2. – С. 51-56.
- Беков У. С., Хайдарович Қ. Ж. Физико-механические 25. пластицированного гипса полученого на основе фенолформальгида //Principal issues of scientific research and modern education. – 2022. – T. 1. – №. 8. https://woconferences.com/index.php/pisrme/article/view/379
- 26. Беков У. С. Исследование относительных деформаций неавтоклавного ячеистого бетона в условиях чистого сдвига. – 2023.
- 27. Зайниев Х. М., Беков У. С. Изучение силовых соотношений при алмазной глуженке. – 2023.
- 28. Muhiddinovich Z. K., Safarovich B. U. Study of force dependences in diamond ironing. -2023.